



# БИООРГАНИЧЕСКАЯ ХИМИЯ

том 15 \* № 4 \* 1989

УДК 547.455.8.057:579.842.23

## СИНТЕЗ 4-С-(1-ГИДРОКСИЭТИЛ) ГЕКСОПИРАНОЗ (ИЕРСИНИОЗ) НА ОСНОВЕ ЛЕВОГЛЮКОЗАНА

1. СИНТЕЗ ПРОИЗВОДНЫХ 1,6-АНГИДРО-3-ДЕЗОКСИ-4-С-(1-ГИДРОКСИЭТИЛ)-*D*-КСИЛО- И -*D*-РИБО-ГЕКСОПИРАНОЗ

*Зубков В. А., Свиридов А. Ф.\*, Горшкова Р. П.,*  
*Шашков А. С.\*, Оводов Ю. С.*

Тихоокеанский институт биоорганической химии ДВО

Академии наук СССР, Владивосток;

\* Институт органической химии им. Н. Д. Зелинского

Академии наук СССР, Москва

На основе левоглюказана получены промежуточные соединения, которые послужат исходными для полного синтеза ряда изомеров 3,6-дизокси-4-С-(1-гидроксигексапираноз (иерсиниоз) – структурных компонентов О-специфических полисахаридов.

Ранее [1] в составе О-специфического полисахарида *Versinia pseudotuberculosis* серовара VI был обнаружен новый разветвленный моносахарид, который был назван иерсиниозой и которому на основании имеющихся в то время спектральных данных было приписано строение 3,6-дизокси-4-С-(1-гидроксигексапиранозы). Позднее [2] из полисахарида *Y. enterocolitica* серовара O:4,32 был выделен аналогичный моносахарид, который, однако, по своим спектральным характеристикам отличался от первого. Анализ спектров  $^{13}\text{C}$ -ЯМР полисахаридов с учетом эффектов гликоэпилирования [3] показал, что первый моносахарид входит в состав углеводной цепи в  $\beta$ -*D*-форме, а второй – в  $\alpha$ -*D*-форме.

Анализ спектров  $^1\text{H}$ -ЯМР свободных моносахаридов позволил сделать заключение, что заместители при C2-, C4-(гидроксигексапиранозы) и C5-атомах находятся в экваториальной позиции.

Полученных данных недостаточно для определения абсолютной конфигурации всех хиральных центров, выделенных из природного источника углеводов, однако они позволяют существенно сузить круг поиска.

Рассматриваемые углеводы (схема 1) содержат три хиральных центра (C2, C5 и C1') и псевдохиральный центр C4. Химическая (но не стереохимическая) идентичность заместителей при C4 приводит к частичному вырождению стереоизомерии, и 3,6-дизокси-4-( $\alpha$ -гидроксигексапиранозы) может существовать в виде 8 стереоизомеров (вместо 16 для случая 4 хиральных центров): DDL, DLD, LDL, LLD, DDD, LDD, DLL и LLL (первой приведена конфигурация C2, второй – конфигурация гидроксигексапиранозы, занимающей *pro-S*-положение при C4, и третьей – конфигурация гидроксигексапиранозы, занимающей *pro-R*-положение при C4, см. схему 1). Два последних стереоизомера следует исключить из рассмотрения, поскольку хотя бы одна из двух гидроксигексапиранозовых групп должна иметь *D*-конфигурацию. Поскольку при замыкании пиранозного цикла атом C4 становится хиральным, каждый из оставшихся шести стереоизомеров может образовывать две диастереомерные пиранозные формы за счет замыкания либо *pro-S*, либо *pro-R*-гидроксигексапиранозовых групп (12 пиранозных форм) и каждая из пиранозных форм может существовать в виде двух конформеров –  $^{13}\text{C}$  и  $^1\text{C}$ . Наиболее стабильные конформеры возможных пиранозных форм приведены в табл. 1. Видно, что лишь три стереоизомера удовлетворяют экспериментальным данным: DDL при *pro-R*-замыкании (конформер  $^{13}\text{C}$ ), DDD при *pro-R*-замыкании ( $^1\text{C}$ ) и

Таблица 1

Возможные конформеры 3,6-дидезокси-4-( $\alpha$ -гидроксигидрофосфат)гексопиранозы  
Подчеркнуты конформеры, удовлетворяющие экспериментальным данным

Стереоизомер *	Замыкание пиранозы	Конформер	Положение ** заместителя
<i>DDL</i>	<i>pro-S</i>	$^1C$	<i>aee</i>
	<i>pro-R</i>	$^1C$	<u><u><i>eee</i></u></u>
<i>DLD</i>	<i>pro-S</i>	$^1C$	<u><i>eea</i></u>
	<i>pro-R</i>	$^1C$	<u><i>eea</i></u>
<i>LDL</i>	<i>pro-S</i>	$^1C$	<u><u><i>eee</i></u></u>
	<i>pro-R</i>	$^1C$	<u><i>eae</i></u>
<i>LLD</i>	<i>pro-S</i>	$^1C$	<u><i>eea</i></u>
	<i>pro-R</i>	$^1C$	<u><i>eae</i></u>
<i>DDD</i>	<i>pro-S</i>	$^1C$	<u><i>eae</i></u>
	<i>pro-R</i>	$^1C$	<u><u><i>eee</i></u></u>
<i>LDD</i>	<i>pro-S</i>	$^1C$	<u><i>eea</i></u>
	<i>pro-R</i>	$^1C$	<u><i>aee</i></u>

\* Приведена конфигурация центров в следующем порядке: C2, *pro-S*-CHONCH<sub>3</sub>, *pro-R*-CHONCH<sub>3</sub>.

\*\* Приведено положение 2-OH, 4-CHONCH<sub>3</sub> и 5-CH<sub>3</sub> в указанном порядке.

*LDL* при *pro-S*-замыкании ( $^1C$ ) (конформеры (I), (II) и (III) соответственно по схеме 1), причем *LDL*-стереоизомер должен присутствовать в природном олигосахариде в виде конформера (IV).

Для окончательного решения вопроса о строении новых моносахаридов и о форме их присутствия в полисахаридной цепи необходимо было провести стереонаправленный синтез стереоизомеров *DDL*, *DDD* и *LDL* в форме гликозидов (I)–(IV). Ранее в работе Паузельсена и Синнвелла [4] были описаны два сходных изомерных по C1' моносахарида, но с обратной конфигурацией центра C4. Однако эта схема не дает возможности осуществить синтез всех рассмотренных выше стереоизомеров. В связи с этим мы разработали схему получения этих моносахаридов, в первую очередь (I) и (III), в энантиомерно чистом виде из левоглюкозана (схема 2).

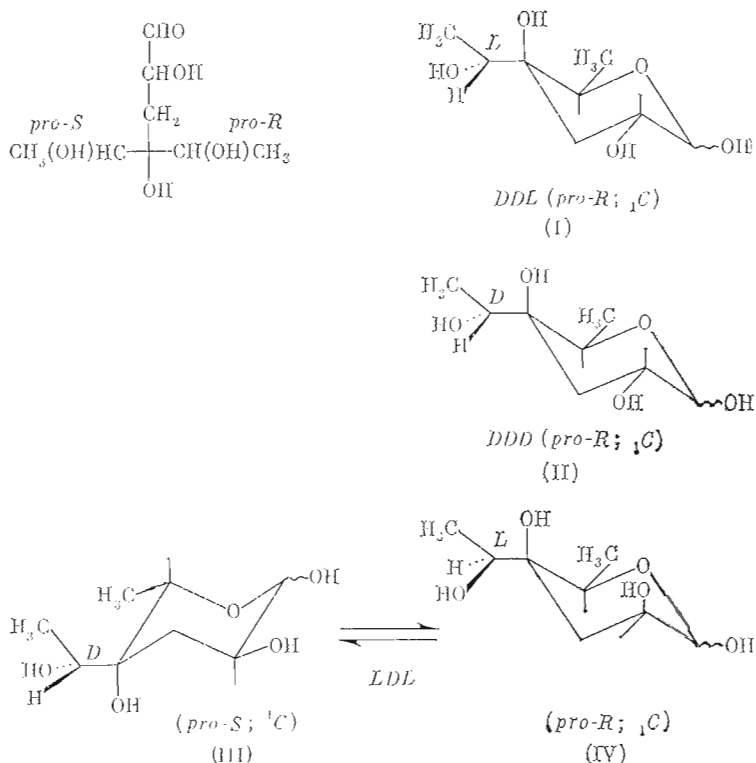
Выбор левоглюкозана (V) в качестве исходного соединения был сделан на основе следующих соображений. В литературе описан синтез тозилата (VI) из левоглюкозана в три стадии [5]. Известно также, что мезилаты типа (VII) легко и стереоспецифично замыкаются в  $\alpha$ -оксиды типа (VIII). Последние могут быть региоселективно восстановлены по C3 [6], давая 3-дезоксипроизводные (IX), в которых гидроксильные группы при C2 и C4 дифференцированы. Это дает возможность через соединения (IX), (X) и (XI) выйти к 4-кетопроизводному (XII), дальнейшая утилизация которого возможна по нескольким направлениям [4, 7].

Таким образом, довольно простой метод, включающий девять стадий, позволяет получить из доступного левоглюкозана важное промежуточное вещество (XII) для синтеза всех возможных стереоизомеров иерсиниоз (I)–(IV). Если сравнить кетон (XII) со структурами целевых соединений (I)–(IV), то видно, что для такого перехода кетон (XII) необходимо лишь дезоксигенировать по C6 и ввести в него разветвление по C4 в виде ацетильного остатка. При этом, учитывая необходимость получения всех целевых соединений по единой схеме, желательно было на первом этапе иметь два стереоизомера по C4, восстановление кетогруппы при C1' в которых может дать по два эпимерных по C1' спирта.

Следовательно, представлялось возможным, исходя из кетона (XII), получить все стереоизомеры по C4 и C1' и затем изменением конфигурации центра C2 получить недостающие стереоизомеры иерсиниозы.

Все стадии получения кетона (XII) проходят сравнительно легко и с хорошим выходом. Строение промежуточных соединений подтверждено анализом их спектров ЯМР (табл. 2, 3). Единственное затруднение вы-

Схема I



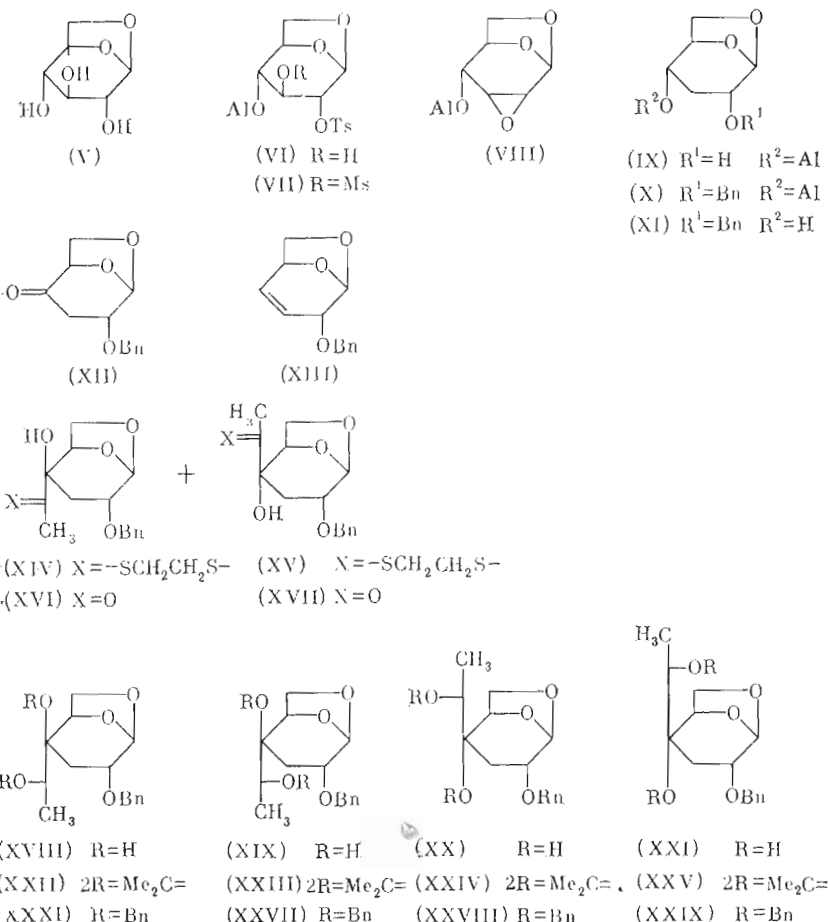
звало снятие О-аллильной защиты в соединении (X). В описанных условиях [8] под действием *трет*-бутилата калия в DMSO из соединения (X) вместо ожидаемого спирта (XI) образуется с выходом 87% олефина (XIII).

Удаление О-аллильной группы удалось провести действием на соединение (X) PdCl<sub>2</sub> [9]. Окисление полученного спирта (XI) в условиях [10] с хорошим выходом приводит к кетону (XII). Из описанных подходов [7, 8] к использованию подобных кетонов для синтеза разветвленных сахаров с оксиэтильной группой в боковой цепи нами была выбрана реакция с 2-литий-2-метил-1,3-дитианом [4], которая приводила к производным (XIV) и (XV) в соотношении 1 : 1,5. Диастереомеры (XIV) и (XV) хорошо разделяются при хроматографировании на силикагеле в градиенте бензол — этилацетат, причем более полярным является соединение (XIV). Строение этих производных подтверждается данными <sup>1</sup>H-, <sup>13</sup>C-ЯМР и ядерного эффекта Оверхаузера (ЯЭО). Так, например, облучение сигнала CH<sub>3</sub>-группы в спектре изомера (XIV) увеличивает интенсивность сигнала H5, в то время как для изомера (XV) увеличивается интенсивность сигналов H5 и H6<sup>ax,eq</sup>, что однозначно указывает на аксиальную ориентацию боковой цепи в первом случае и экваториальную — во втором.

При обработке соединений (XIV) и (XV) HgCl<sub>2</sub> в присутствии CdCO<sub>3</sub> [4] с хорошим выходом образуются кетоны (XVI) и (XVII) соответственно, строение которых подтверждается анализом их спектров <sup>1</sup>H- и <sup>13</sup>C-ЯМР. Наиболее существенные различия в положении и мультиплетности сигналов в спектрах <sup>1</sup>H-ЯМР кетонов (XVI) и (XVII) наблюдались для протонов H1 (5,53δ и 5,69т), H3a (2,05м и 2,35dd), H3e (2,05м и 1,85dd) и для H5 (4,22δ и 4,35dd). В спектрах <sup>13</sup>C-ЯМР различия менее существенны, однако диагностическим может быть положение сигналов C3 (32,5 и 29,4 м.д.) и C4 (74,1 и 71,8 м.д.). Приведенные спектры позволяют легко различить кетоны (XVI) и (XVII).

Восстановление кетонов (XVI) и (XVII) NaBH<sub>4</sub> в спирте приводит к двум парам эпимерных по C1' спиртов — (XVIII) и (XIX), (XX) и

### *Cxema 2.*



Ms – метансульфонил (мезил), Al – аллил, Br – бензил, Ts – толуолсульфонил (тозил).

(XXI) соответственно, которые удалось разделить хроматографией на силикагеле [4]. Общий выход соединений (XVIII) и (XIX) составил 82% при соотношении 2 : 1. Другая пара, (XX) и (XXI), образуется с количественным выходом в соотношении 1 : 1.

Абсолютная конфигурация нового хирального центра ( $C1'$ ) в полученных соединениях была установлена с помощью ЯЭО для ацетонидов (XXII)–(XXV), которые получаются с хорошим выходом при ацетонировании диолов 2,2-диметоксипропаном в присутствии толуолсульфонкислоты. Так, при облучении сигнала  $C2$  метильной группы в спектре ацетонидов увеличивается интегральная интенсивность сигналов  $H3e$  (2%) для (XXIII),  $H5$  (2%) для (XXII),  $H3a$  (2,5%) и  $H6^{exco}$  (1%) для (XXIV) что однозначно указывает на пространственную сближенность  $\text{CH}_3$ -группы и указанных протонов и определяет абсолютную конфигурацию центра  $C1'$ . Конфигурация центра  $C1'$  в производном (XXV), а следовательно, и в (XXI) должна быть обратной конфигурации соединения (XXIV). Таким образом, полиолы (XIX) и (XX) имеют *D*-глицеро-, а (XVIII) и (XXI) – *L*-глицеро-конфигурацию разветвления.

Как отмечалось выше, производное (XXII) может послужить исходным веществом для получения целевого соединения (IV). Производные (XVIII) и (XIX) являются исходными для синтеза целевых веществ (I) и (II), а соединение (XX) — для получения соединения (III).

Таблица 2

Спектры  $^1\text{H}$ -ЯМР соединений (VII)–(XXIX)

Соединение	Химический сдвиг (м. д.) и КССВ ( $\Gamma_{\text{II}}$ )						$\text{H}_2'$	Другие сигналы
	$\text{H}_1$ $J_{1,2}$	$\text{H}_2$ $J_{2,3a}$	$\text{H}_{3a}$ $J_{3a,3c}$	$\text{H}_{3c}$ $J_{2,3c}$	$\text{H}_5$ $J_{5,6\text{эндо}}$	$\text{H}_6^{\text{эндо}}$ $J_{6\text{эндо},6\text{эндо}}$		
(VII)	5,35yc 1,5	4,81M 4,0	4,39d * 6,0	4,64d 1,2	3,73d 5,5	4,0d 7,5		
(VIII)	5,48yc 1,5	2,94dd 4,0	3,21m 4,5	4,34dt 2,5	3,54dd 7,0	3,75dd 8,0		
(IX)	5,18d 2,0	3,36m 4,5	1,82m 16,0	1,78m 2,5	4,45m 2,0	3,60m 5,0	3,65dd 7,5	
(X)	5,43yc 2,0	3,30m 5,5	1,82m 16,0	1,99m 2,0	4,60ddd 1,5	3,47d 8,0	3,55dd 7,5	
(XI)	5,46d 2,5	3,44m 5,5	1,96m 15,0	1,96m 2,0	4,55m 2,0	3,83dd 4,5	3,78dd 8,0	
(XII)	5,62yc 1,5	3,78m 7,0	2,71d 17,0	2,64d 3,5	4,56dd 2,0	3,93d 5,0	3,85dd 9,0	
(XIII)	5,62yc 1,5	3,52yd 4,0	5,84ddd 10,0		4,72dt 2,5	3,65m	3,65m	
(XIV)	5,42yc 1,5	3,52dd 6,5		2,52dt 3,5	4,94dd 1,0	3,67dd 5,5	4,37dd 7,5	2,42c
(XV)	5,28yc 1,5	3,46at 5,0	4,97dd 15,0	2,48dd 2,5	7,72dd 1,0	3,71dd 5,5	4,44dd 9,0	1,75c

542

(XVI)	5,23 $\Delta$	3,59 $M$	2,05 $M$	2,05 $M$	4,20 $\text{дд}$	3,78 $\text{дд}$	4,32 $\Delta\Delta$	2,68с
	2,0	4,5	15,0	2,5	1,2	5,0	8,0	
(XVII)	5,69 $\Gamma$	3,66 $M$	2,35 $\text{дд}$	1,85 $\text{дд}\Delta$	4,35 $\text{дд}$	3,77 $\text{дд}$	4,17 $\text{дд}$	2,30с
	1,5	4,0	15,0	1,0	5,5	9,0		
(XVIII)	5,38 $\text{уc}$	3,47 $\text{дт}$	1,59 $\text{дд}$	2,33 $M$	4,27 $\text{дд}$	3,72 $\text{дд}$	4,17 $\text{дд}$	4,42к
	2,0	5,0	15,0	1,0	5,5	8,0	6,5	
(XIX)	5,41 $\text{уc}$	3,44 $K$	4,74 $\text{дд}$	1,90 $M$	4,53 $\text{дд}$	3,74 $\text{дд}$	4,19 $\text{дд}$	4,59к
	2,0	5,0	15,0	1,0	5,5	8,0	6,5	
(XX)	5,45 $\text{уc}$	3,48 $M$	4,61 $\text{дд}$	1,75 $M$	4,65 $\text{дд}$	3,78 $\text{дд}$	3,89 $\text{дд}$	3,78к
	2,0	4,5	15,0	1,0	5,5	7,5	6,5	
(XXI)	5,46 $\text{уc}$	3,54 $M$	1,82 $\text{дд}$	2,07 $M$	4,22 $\text{дд}$	3,78 $\text{дд}$	3,96 $\text{дд}$	3,58к
	2,0	5,0	15,0	1,0	6,0	9,0	7,5	
(XXII)	5,39 $\text{уc}$	3,51 $M$	2,19 $\text{дд}$	1,86 $M$	4,44 $\text{дд}$	3,76 $\text{дд}$	4,19	4,4к
	2,0	5,5	15,0	1,0	5,5	8,0	7,0	
(XXIII)	5,36 $\text{уc}$	3,47 $M$	1,85 $\text{дд}$	2,12 $M$	4,33 $\text{дд}$	3,77 $\text{дд}$	4,17 $\text{дд}$	4,41к
	2,0	6,0	15,0	1,0	5,5	8,0	7,0	
(XXIV)	5,44 $\text{уc}$	3,43 $M$	1,73 $\text{дд}$	1,86 $M$	4,32 $\text{дд}$	3,65 $\text{дд}$	3,72 $\text{дд}$	3,93к
	1,5	5,0	15,0	1,5	5,0	8,0	6,5	
(XXV)	5,43 $\Delta$	3,43 $M$	1,78 $M$	1,78 $M$	4,41 $\text{дд}$	3,74 $\text{дд}$	3,82 $\text{дд}$	3,84к
	2,0				1,5	5,0	8,0	7,0
(XXVI)	5,45 $\text{уc}$	3,54 $M$	1,77 $\Delta$	3,07 $M$	4,28 $\text{дд}$	3,78 $\text{дд}$	4,30 $\text{дд}$	4,37к
	1,5	5,0	15,0	1,5	6,5	8,0	6,5	
(XXVII)	5,45 $\text{уc}$	3,48 $M$	1,72 $\text{дд}$	1,96 $M$	5,30 $\text{дд}$	3,72 $\text{дд}$	4,18 $\text{дд}$	4,56к
	1,5	5,0	15,0	1,0	7,5	6,5	6,5	
(XXVIII)	5,52 $\Gamma$	3,41 $\text{дт}$	1,63 $\text{дд}$	1,98 $M$	5,16 $\text{дд}$	3,60 $\text{дд}$	3,69 $\text{дд}$	3,51к
	2,0	2,0	15,0	6,5	1,5	6,0	8,5	
(XXIX)	5,53 $\Gamma$	3,47 $\text{дт}$	1,80 $\text{дд}$	2,50 $M$	4,46 $\text{дд}$	3,73 $\text{дд}$	4,12 $\text{дд}$	3,61к
	2,0	1,5	15,0	5,5	1,0	5,5	8,0	

\* Один протон, J<sub>3,4</sub>.

Спектры  $^{13}\text{C}$ -ЯМР соединений (VII)–(XXIX)

Соединение	Химический сдвиг, м. д.						$\text{CH}_2\text{Ph}$	$\text{CH}_2\text{Ph}$	Другие сигналы
	$\text{C}_1$	$\text{C}_2$	$\text{C}_3$	$\text{C}_4$	$\text{C}_5$	$\text{C}_6$			
(VII)	98,9	75,4	74,2	75,1	74,5	65,5			
(VIII)	96,9	47,7	47,5	72,8	75,2	65,3			
(IX)	102,1	66,7	27,7	73,2	73,8	65,4			
(X)	101,0	72,1	24,9	72,6	74,7	65,6			
(XI)	100,4	73,7	27,9	67,1	77,6	65,6			
(XII)	101,6	75,8	39,4	20,5	79,2	66,8			
(XIV)	101,3	75,2	31,0	74,8	74,6	64,5			
(XV)	99,0	75,3	28,1	78,3	78,6	67,0			
(XVI)	100,3	74,8	32,5	74,4	75,6	65,1			
(XVII)	99,0	73,9	29,4	71,8	77,7	65,6			
(XVIII)	100,3	75,2	30,2	74,0	75,9	65,2			
(XIX)	99,8	74,5	29,6	71,7	75,4	64,4			
(XXX)	99,9	73,9	29,6	72,8	78,0	65,2			
(XXXI)	99,9	74,1	29,3	73,0	78,6	65,4			
(XXXII)	99,6	75,1	32,8	78,3	74,4	65,1			
(XXXIII)	100,3	74,6	29,5	79,8	78,0	64,9			
(XXXIV)	101,0	72,7	26,7	76,7	79,5	64,7			
(XXXV)	104,1	73,2	30,3	79,6	76,7	65,4			
(XXXVI)	100,8	74,7	26,6	76,0	75,8	65,0			
(XXXVII)	100,2	75,9	30,9	76,6	72,8	64,0			
(XXXVIII)	100,7	72,9	29,4	76,4	73,7	64,8			
(XXXIX)	100,5	73,4	25,2	77,6	77,2	65,4			

Следующий этап перехода от диолов (XVIII)–(XXI) к целевым соединениям (I)–(IV) должен заключаться в метанолизе и последующем восстановлении первичной спиртовой группы в метилгликазидах.

Чтобы избежать возможного в процессе метанолиза обмена боковой цепи с циклической оксиэтильной группой или образования метилгликазидов в фуранозной форме, была проведена защита гидроксильных групп при C4 и C1' с помощью бензилирования. В результате с хорошим выходом были получены бензиловые эфиры (XXVI)–(XXIX), строение которых подтверждается данными ЯМР-спектров. На этом завершается первый этап синтеза целевых соединений (I)–(IV). Последующие операции по переходу к последним и сравнительное изучение с аналогичными производными, полученными из полисахаридов, будут описаны в следующем сообщении.

### Экспериментальная часть

Спектры  $^1\text{H}$ - и  $^{13}\text{C}$ -ЯМР снимали на приборе Bruker WM-250 в  $\text{CDCl}_3$  (внутренний стандарт – тетраметилсилан). Удельное вращение измеряли на приборе Perkin–Elmer M-141 в  $\text{CHCl}_3$ . ТСХ выполняли на пластинках Silica Gel 60 (Merck), разделение смесей проводили на силикагеле L (60–100 мкм).

*1,6-Ангидро-2-толуолсульфонил-3-O-мезил-4-O-аллил- $\beta$ -D-глюкопираноза* (VII). Растворяли 21,1 г (0,06 моль) спирта (VI) [5] в 200 мл сухого  $\text{CH}_2\text{Cl}_2$ , добавляли 12,5 мл (0,09 моль)  $\text{Et}_2\text{N}$  и охлаждали до  $-15^\circ\text{C}$ . К смеси добавляли по каплям 5,42 мл (0,07 моль) мезилхлорида, перемешивали 20 мин. Смесь промывали последовательно водой, 2 н.  $\text{H}_2\text{SO}_4$ , водой, насыщенным раствором  $\text{NaHCO}_3$ , водой, сушили  $\text{CaCl}_2$ , упаривали. Остаток кристаллизовали из  $\text{EtOH}$ . Выход 18,9 г (75%), т. пл.  $134^\circ\text{C}$ ,  $[\alpha]_D^{20} -26,4^\circ$  (*c* 0,6 в  $\text{CHCl}_3$ ).

*1,6;2,3-Диангидро-4-O-аллил- $\beta$ -D-аллопираноза* (VIII). Растворяли 18,4 г (0,044 моль) мезилата в 140 мл смеси  $\text{CH}_2\text{Cl}_2$ – $\text{MeOH}$  (1:1), охлаждали до  $0^\circ\text{C}$ , добавляли 70 мл 2 н. раствора  $\text{MeONa}$  в  $\text{MeOH}$  (0,14 моль). Смесь перемешивали при  $\sim 20^\circ\text{C}$  до окончания реакции (20 ч), разбавляли 200 мл воды, отделяли нижний слой, верхний экстрагировали дважды хлороформом (по 160 мл), объединенные экстракты промывали насыщенным раствором  $\text{NaCl}$ , сушили  $\text{Na}_2\text{SO}_4$ , упаривали. Выход 7,3 г (90%), сироп  $[\alpha]_D^{20} +80,0^\circ$  (*c* 0,5).

*1,6-Ангидро-3-дезокси-4-O-аллил- $\beta$ -D-рибогексопираноза* (IX). Растворяли 12,0 г (0,65 моль)  $\alpha$ -эпоксида (VIII) в 200 мл абс. эфира, добавляли порциями 2,2 г (0,059 моль)  $\text{LiAlH}_4$  и кипятили при перемешивании 2 ч. Смесь разлагали 2,5 мл воды, 10 мл 10%  $\text{KOH}$ , фильтровали через слой окиси алюминия, фильтр промывали эфиром, фильтрат упаривали, осадок сушили в вакууме. Выход 12 г (95%), сироп,  $[\alpha]_D^{20} -59,1^\circ$  (*c* 0,8).

*1,6-Ангидро-3-дезокси-2-O-бензил-4-O-аллил- $\beta$ -D-рибогексопираноза* (X). К раствору 12 г (0,064 моль) спирта (IX) в 100 мл  $\text{DMCO}$  добавляли 50 мл 1,4 М раствора метилсульфенилметилнида натрия (0,07 моль) и перемешивали 0,5 ч. К смеси добавляли по каплям при охлаждении 10,3 мл (0,07 моль) хлористого бензила. Через 1 ч разбавляли ледяной водой, трижды экстрагировали хлороформом, экстракт промывали водой, насыщенным раствором  $\text{NaCl}$ , упаривали и остаток хроматографировали на колонке с силикагелем в градиенте бензол–эфир. Выход 16,5 г (94%), сироп,  $[\alpha]_D^{20} -67,1^\circ$  (*c* 0,7).

*1,6-Ангидро-2-O-бензил- $\beta$ -D-эритро-гексен-3-пираноза* (XII). К раствору 3 г (10,5 моль) соединения (X) в 20 мл абс.  $\text{DMSO}$  добавляли 1,2 г (10,7 ммоль) трет-бутилата калия. Смесь выдерживали 2 ч при  $30^\circ\text{C}$ . Раствор выливали в воду, экстрагировали эфиром ( $3 \times 50$  мл). Экстракт промывали насыщенным раствором  $\text{NaCl}$ , упаривали, остаток хроматографировали. Выход 1,9 г (87%), сироп,  $[\alpha]_D^{20} -98,0^\circ$  (*c* 0,6).

*1,6-Ангидро-2-O-бензил-3-дезокси- $\beta$ -D-рибо-гексопираноза* (XI). К раствору 9 г (32,6 ммоль) соединения (X) в 50 мл смеси  $\text{AcOH}$ – $\text{H}_2\text{O}$  (20:1) добавляли 8,2 г (46 ммоль)  $\text{PdCl}_2$  и 16 г  $\text{NaOAc}$ . Перемешивали при ком-

натной температуре 48 ч, приливали 10 мл аллилового спирта, фильтровали через слой силикагеля, упаривали, остаток хроматографировали. Выход 6,2 г (80%), сироп,  $[\alpha]_D^{20} -26,1^\circ$  (с 0,5).

*1,6-Ангидро-2-O-бензил-3-дезокси-β-D-эритро-гексулоз-4-пираноза* (XII). К раствору 4,55 мл (0,052 моль)  $\text{COCl}_2$  в 50 мл  $\text{CH}_2\text{Cl}_2$  в течение 10 мин добавляли по каплям раствор 7,4 мл (0,052 моль) DMSO в 30 мл  $\text{CH}_2\text{Cl}_2$  при  $-65^\circ \text{C}$  и через 5 мин по каплям 6,0 г (0,03 моль) спирта (XI) в 30 мл  $\text{CH}_2\text{Cl}_2$ . Смесь выдерживали при этой температуре 15 мин и затем по каплям прибавляли 26 мл (0,2 моль)  $\text{Et}_3\text{N}$ , разбавляли 200 мл  $\text{CHCl}_3$ , промывали насыщенным раствором  $\text{NaCl}$ , упаривали, остаток хроматографировали. Выход 5,5 г (90,4%), сироп,  $[\alpha]_D^{20} -50,5^\circ$  (с 0,5).

*1,6-Ангидро-2-O-бензил-3-дезокси-4-C-(2'-метил-1',3'-дитианил-2')-β-D-ксило-гексопираноза* (XIV) и *β-D-рибо-гексопираноза* (XV). К раствору 18 мл (130 ммоль) 2-метил-1,3-дитиана в 100 мл абс. тетрагидрофурана добавляли по каплям 21,8 мл (28,4 ммоль) 1,3 М раствора  $\text{Bu}^n\text{Li}$  в гексане. Смесь перемешивали 2,5 ч, охлаждали до  $-70^\circ \text{C}$  и добавляли по каплям 6,05 г (26 ммоль) кетона (XII) в 50 мл тетрагидрофурана. Через 3 ч добавляли 6 мл  $\text{AcOH}$ , упаривали и остаток хроматографировали. Выход производного (XIV) 5,52 г (57,7%),  $R_f$  0,5 (бензол — этилацетат, 3:1), сироп,  $[\alpha]_D^{20} -41,9^\circ$  (с 0,6). Выход (XV) 3,68 г (38,5%),  $R_f$  0,55, сироп,  $[\alpha]_D^{20} -32,3^\circ$  (с 0,7). ЯЭО для (XIV):  $[\text{CH}_3]$ , Н5 2,5%. ЯЭО для (XV):  $[\text{CH}_3]$ , Н5=3%, Н<sup>экзо</sup>=3%.

*1,6-Ангидро-2-O-бензил-3-дезокси-4-C-ацетил-β-D-ксило-гексапираноза* (XVI). Смесь 1,62 г (4,4 ммоль) дитиана (XIV), 3,6 г (13,2 ммоль)  $\text{HgCl}_2$ , 4,6 г (26,4 ммоль)  $\text{CdCO}_3$  в 30 мл ацетон — вода (10:1) кипятили 8 ч, упаривали, фильтровали, остаток хроматографировали в системе бензол — эфир. Выход 1,1 г (91%), сироп,  $[\alpha]_D^{20} -49,9^\circ$  (с 0,5).

*1,6-Ангидро-2-O-бензил-3-дезокси-4-C-ацетил-β-D-рибо-гексопираноза* (XVII). Получена аналогично соединению (XVI). Выход 85%.  $[\alpha]_D^{20} -29,5^\circ$  (с 0,5).

*1,6-Ангидро-2-O-бензил-3-дезокси-4-C-(D-глицеро-1'-гидроксиэтил)-β-D-ксило-гексопираноза* (XIX) и *4-C-(L-глицеро-1'-гидроксиэтил)-β-D-ксило-гексопираноза* (XVIII). К 0,35 г (1,3 ммоль) кетона (XVI) в 5 мл  $\text{MeOH}$  добавляли 0,34 г (10 ммоль) боргидрида натрия. Смесь перемешивали 30 мин, обрабатывали КУ-2 ( $\text{H}^+$ ), отфильтровывали, упаривали несколько раз с  $\text{MeOH}$ . Остаток хроматографировали на силикагеле в системе  $\text{CH}_2\text{Cl}_2-\text{MeOH}$  (100:3). Выход производного (XIX) 0,2 г (56,4%),  $R_f$  0,5 ( $\text{CH}_2\text{Cl}_2-\text{MeOH}$ , 100:3),  $[\alpha]_D^{20} -30^\circ$ . Выход продукта (XVIII) 0,1 г (27,3%),  $R_f$  0,55, сироп,  $[\alpha]_D^{20} -10,6^\circ$  (с 0,8).

*1,6-Ангидро-2-O-бензил-3-дезокси-4-C-(D-глицеро-1'-гидроксиэтил)-β-D-рибо-гексопиранозу* (XX) и *-4-C-(L-глицеро-1'-гидроксиэтил)-β-D-рибо-гексопиранозу* (XXI) получали как в предыдущем опыте. Выход (XX) 55%,  $R_f$  1,0, сироп,  $[\alpha]_D^{20} -46,9^\circ$  (с 0,7). Выход (XXI) 45%,  $R_f$  1,1, сироп,  $[\alpha]_D^{20} -41,7^\circ$  (с 0,8).

*1,6-Ангидро-2-O-бензил-3-дезокси-4,1'-изопропилиден-4-C-(D-глицеро-1'-гидроксиэтил)-β-D-ксило-гексопираноза* (XXIII). Растворяли 0,28 г (1 ммоль) диола (XIX) в 5 мл ацетона, добавляли 1 мл 2,2-диметоксипропана, 0,1 г  $\text{TsOH}\cdot\text{H}_2\text{O}$  и перемешивали при  $\sim 20^\circ \text{C}$  30 мин. Нейтрализовали  $\text{NaHCO}_3$ , упаривали, остаток хроматографировали. Выход 0,3 г (94%), сироп,  $[\alpha]_D^{20} -50,1^\circ$  (с 0,7). ЯЭО:  $[\text{CH}_3]$ , Н3е=2%.

*1,6-Ангидро-2-O-бензил-3-дезокси-4,1'-O-изопропилиден-4-C-(L-глицеро-1'-гидроксиэтил)-β-D-ксило-гексопираноза* (XXII). Выход 90%, сироп,  $[\alpha]_D^{20} -30,7^\circ$  (с 0,6). ЯЭО:  $[\text{CH}_3]$ , Н5=2%.

*1,6-Ангидро-2-O-бензил-3-дезокси-4,1'-изопропилиден-4-C-(D-глицеро-1'-гидроксиэтил)-β-D-рибо-гексопиранозу* (XXIV) получали аналогично соединению (XXII). Выход 95%, сироп,  $[\alpha]_D^{20} -35,1^\circ$  (с 0,5). ЯЭО:  $[\text{CH}_3]$ , Н5<sup>экзо</sup>=1%.

*1,6-Ангидро-2-O-бензил-3-дезокси-4,1'-O-изопропилиден-4-C-(L-глиц-*

церо-*I'*-гидроксиэтил)- $\beta$ -D-рибо-гексопираноза (XXV). Выход 89%, сироп,  $[\alpha]_D^{20} -53,5^\circ$  (с 0,6).

*1,6-Ангидро-2-O-бензил-3-дезокси-4-C-(D-глицеро-*I'*-гидроксиэтил)- $\beta$ -D-ксило-гексопираноза (XIX).* Растворяли 0,25 г (0,78 ммоль) соединения (ХХІІ) в 5 мл MeOH, добавляли КУ-2 ( $H^+$ ) и перемешивали 20 мин. Фильтровали, смолу промывали метанолом, упаривали. Выход 0,2 г (89,6%),  $[\alpha]_D^{20} -30,0^\circ$  (с 0,5).

*1,6-Ангидро-2,4-ди-O-бензил-3-дезокси-4-C-(D-глицеро-*I'*-бензоксиэтил)- $\beta$ -D-ксило-гексопираноза (XXVII).* Растворяли 0,3 г (1,08 ммоль) спирта (XIX) в 5 мл диметилформамида, прибавляли 0,5 г гидрида натрия, перемешивали 40 мин. При охлаждении добавляли 0,4 мл хлористого бензила (1,3 ммоль), перемешивали 1 ч. Раствор разбавляли ледяной водой, экстрагировали хлороформом. Хлороформные вытяжки промывали насыщенным раствором NaCl, упаривали, остаток хроматографировали. Выход 0,35 г (78%), сироп,  $[\alpha]_D^{20} -8,0^\circ$  (с 0,5).

*1,6-Ангидро-2,4-ди-O-бензил-3-дезокси-4-C-(L-глицеро-*I'*-бензоксиэтил)- $\beta$ -D-ксило-гексопиранозу (XXVI)* получали аналогично соединению (XXVII). Выход 60%, сироп,  $[\alpha]_D^{20} -33,0^\circ$  (с 0,7).

*1,6-Ангидро-2,4-ди-O-бензил-3-дезокси-4-C-(D-глицеро-*I'*-бензоксиэтил)- $\beta$ -D-рибо-гексопиранозу (XXVIII)* получали аналогично соединению (XXVII). Выход 90%, сироп,  $[\alpha]_D^{20} -34,4^\circ$  (с 0,6).

*1,6-Ангидро-2,4-ди-O-бензил-3-дезокси-4-C-(L-глицеро-*I'*-бензоксиэтил)- $\beta$ -D-рибо-гексопиранозу (XXIX)* получали аналогично соединению (XXVII). Выход 91%, сироп,  $[\alpha]_D^{20} -27,7^\circ$  (с 0,8).

#### СПИСОК ЛИТЕРАТУРЫ

1. Gorshkova R. P., Zubkov V. A., Isakov V. V., Ovodov Yu. S. // Garbohydr. Res. 1984. V. 126. P. 308–311.
2. Горшкова Р. П., Зубков В. А., Исааков В. В., Оводов Ю. С. // Биоорганическая химия. 1987. Т. 13. № 8. С. 1146, 1147.
3. Kochetkov N. K., Chizhov O. S., Shashkov A. S. // Carbohydr. Res. 1984. V. 133. P. 174–185.
4. Paulsen H., Sinnwell V. // Chem. Ber. 1978. B. 111. S. 879–889.
5. Bessell E. M., Westwood J. H. // Carbohydr. Res. 1972. V. 25. № 1. P. 11–21.
6. Trnka T., Cerny M. // Collect. Czech. Chem. Communs. 1972. V. 37. P. 3632–3639.
7. Yoshimura J., Matsuzawa M. // Carbohydr. Res. 1981. V. 94. № 2. P. 173–181.
8. Gigg R., Warren C. D. // J. Chem. Soc. C. 1968. P. 1903–1911.
9. Paulsen H., Lorentzen J. P., Kutscher W. // Carbohydr. Res. 1985. V. 136. P. 153–176.
10. Omura K., Swern D. // Tetrahedron. 1978. V. 34. P. 1651–1660.

Поступила в редакцию  
3.V.1988

После доработки  
23.VIII.1988

#### SYNTHESIS OF 4-C-(1-HYDROXYETHYL)-HEXAPYRANOSIDES (ISOMERS OF YERSINIOSE) FROM LEVOGLUCOSAN.

##### 1. SYNTHESIS OF 1,6-ANHYDRO-3-DEOXY-4-C-(1-HYDROXYETHYL)-D-xylo- AND -D-ribo-HEXAPYRANOSIDES

ZUBKOV V. A., SVIRIDOV A. F.\*., GORSHKOVA R. P., SHASHKOV A. S.\*.,  
OVODOV Yu. S.

Pacific Institute of Bioorganic Chemistry,  
Far East Division, Academy of Sciences of the USSR,  
Vladivostok; \* N. D. Zelinsky Institute of Organic Chemistry,  
Academy of Sciences of the USSR, Moscow

Based on levoglucosan, intermediate compounds for total synthesis of some isomers of 3,6-dideoxy-4-C-(1-hydroxyethyl)-xylo-hexoses (yersinioses), structural components of O-specific polysaccharides, have been obtained.